

суется с обнаруженным уменьшением спектральной плотности микролазменного шума и ростом граничной частоты [9].

Важно отметить, что одинаковое относительное увеличение p_{01} у искусственных МП по сравнению с естественными МП [6] наступает при значительно меньших (на 1–2 порядка) Φ_e . Качественно этот результат можно объяснить разницей в объемах $V_{\text{МП}}$. Для естественных МП $V_{\text{МП}} \sim 0.1 \text{ мкм}^3$, а для исследованных нами искусственных МП $V_{\text{МП}} \approx 1 \text{ мкм}^3$. Очевидно, что одинаковое число РД $M = n_{\text{РД}} V_{\text{МП}}$ ($n_{\text{РД}}$ — концентрация РД) в искусственных МП достигается при меньших $n_{\text{РД}}$, следовательно, меньших Φ_e , чем в естественных МП. Следует также обратить внимание на существенное различие абсолютных значений p_{01} , полученных нами и в работе [6]. Например, при $\Phi_e = 3 \cdot 10^{16} \text{ см}^{-2}$ $p_{01} \approx 10^8 \text{ с}^{-1}$, согласно рис. 2, и $p_{01} \approx 10^5 \text{ с}^{-1}$, по данным [6]. По-видимому, это связано с различными напряжениями пробоя исследованных МП (8 В в нашем случае и 50 В в [6]). Известно, что напряженность электрического поля при лавинном пробое больше в низковольтных $p-n$ -переходах. Поэтому в таких переходах вероятно проявление другого механизма генерации первичных носителей, запускающих лавину, а именно туннелирования с уровнем РД [10].

Список литературы

- [1] Грехов И. В., Сережкин Ю. И. Лавинный пробой $p-n$ -перехода в полупроводниках. Л., 1980. 152 с.
- [2] Gereth R., Haitz W. H., Smits F. M. // J. Appl. Phys. 1965. V. 36. N 12. P. 3884–3894.
- [3] Зайцевский И. Л., Конакова Р. В., Тхорик Ю. А., Шаховцов В. И. // Физические основы радиационной технологии твердотельных электронных приборов. Киев, 1973. С. 116–120.
- [4] Коршунов Ф. П., Марченко И. Г. // Весні АН БССР. Сер. фіз.-мат. наук. 1983. № 2. С. 69–72.
- [5] Викулин И. М., Новиков Л. Н., Прохоров В. А. // ФТи. 1983. Т. 17. В. 6. С. 1054–1059.
- [6] Коршунов Ф. П., Ластовский С. Б., Марченко И. Г. // ДАН БССР. 1989. Т. 33. В. 3. С. 218–221.
- [7] Аладинский В. К., Дашин В. И., Сущик А. С., Тимербулатов А. И. // Радиотехн. и электрон. 1973. Т. 18. В. 2. С. 342–349.
- [8] Акимов П. В., Грехов И. В., Сережкин Ю. Н. // ФТи. 1972. Т. 6. В. 6. С. 1118–1120.
- [9] Пожела Ю. К., Тамашявишвили З. Н., Тамашявишвили А. В. // Тез. докл. I Всес. конф. по физическим основам твердотельной электроники. Л., 1989. Т. В. С. 296–297.
- [10] Пожела Ю. К., Тамашявишвили З. Н., Гиралайтис Д. А. // Тез. докл. VII Всес. симп. «Плазма и неустойчивости в полупроводниках». Паланга, 1989. Ч. I. С. 5–7.

Институт физики полупроводников
АН ЛитССР
Вильнюс

Получено 20.07.1989
Принято к печати 4.10.1989

ФТП, том 24, вып. 3, 1990

МАГНИТОФОНОННЫЙ РЕЗОНАНС И ЭФФЕКТ ПОПЕРЕЧНОГО ПРОБОЯ В СПЛАВАХ $Hg_{1-x}Cd_xTe$ ПОД ДАВЛЕНИЕМ

Богданов Е. В., Заставный Ю. В.

В последнее время вновь повысился интерес к изучению эффектов, наблюдавшихся в сплавах $Hg_{1-x}Cd_xTe$ в магнитном поле при разогреве носителей заряда [1–4]. В теориях магнитофононного резонанса (МФР) [1, 3–6] и эффекта попечечного пробоя (ЭПП) [2], которые в этих условиях наблюдаются, положение особенностей связывается с параметрами энергетического спектра. Поэтому представляют интерес исследования этих явлений при перестройке спектра за счет внешних воздействий [3], в частности под давлением.

В настоящей работе приведены результаты измерений сопротивления (проводимости) образцов сплавов $Hg_{1-x}Cd_xTe$ ($x=0.145$ и 0.20 ; последний материал

использовался в [2]) в сильном электрическом ($E \leqslant 500$ В/см) и магнитном ($H \leqslant 60$ кЭ) полях под давлением P до 10 кбар при 4.2 К. Состав сплавов определялся по данным о крае собственного поглощения при комнатной или азотной температуре. При 4.2 К концентрация и холловская подвижность электронов в слабых электрическом и магнитном полях составляли $5 \cdot 10^{14}$ см⁻², $3 \cdot 10^5$ см²/В·с и 10^{15} см⁻³, $2 \cdot 10^4$ см²/В·с соответственно для $\text{Hg}_{0.855}\text{Cd}_{0.145}\text{Te}$ и $\text{Hg}_{0.80}\text{Cd}_{0.20}\text{Te}$. Измерения проводились по импульсной методике на образах с характерными размерами $0.3 \times 0.3 \times 4$ мм. Низкая частота следования ($20 \div 80$ Гц) и малая длительность (не более 0.4 мкс) импульсов обеспечивали отсутствие разогрева образцов.

На рис. 1, *a* приведены типичные кривые продольного магнитосопротивления $\rho(H)$ для $\text{Hg}_{0.855}\text{Cd}_{0.145}\text{Te}$ при различных давлениях и плотности измерительного тока (для удобства кривые смещены по оси ординат). Как и в [5], при нормальном давлении и больших плотностях тока наблюдаются связанные

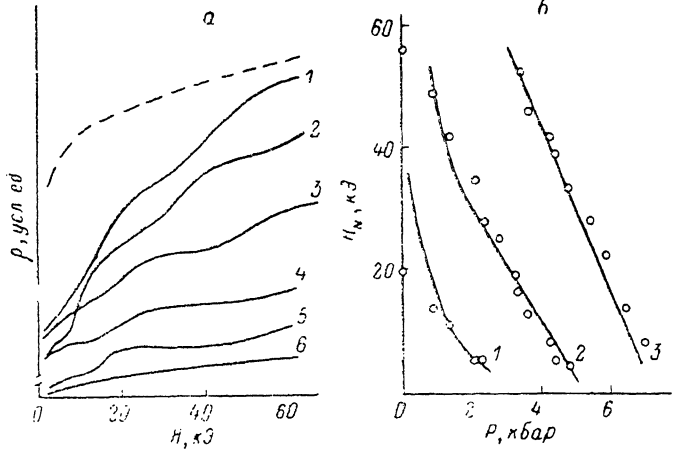


Рис. 1. Зависимости сопротивления ρ от величины продольного магнитного поля H при плотности измерительного тока 1000 А/см² (*a*) и положения МФР H_N от давления P (*b*) для образца $\text{Hg}_{0.855}\text{Cd}_{0.145}\text{Te}$.

a) P , кбар: 1 — 0.001, 2 — 1.4, 3 — 3.4, 4 — 4.9, 5 — 5.9, 6 — 10. Штриховая кривая — зависимость от "затягивающей" плотности тока 0.05 А/см² и $P=1$ бар. *б*) 1, 2, 3 — результат расчета для переходов с участком 1, 2 и 3 оптических фононов соответственно.

с МФР максимумы заметной амплитуды. При сжатии до $P=6 \div 7$ кбар происходит систематический сдвиг МФР в сторону слабых магнитных полей и постепенное обеднение осцилляционной картины. При давлениях выше 7 кбар МФР не наблюдаются (кривая *б*). Как известно [1, 5], заметную роль в МФР на $\text{Hg}_{1-x}\text{Cd}_x\text{Te}$ играют многофононные процессы, для которых условие резонанса можно записать в виде

$$\epsilon_g(H) = N\hbar\omega_0,$$

где $\epsilon_g(H)$ — энергетическая щель в магнитном поле (зазор между нижним электронным и верхним дырочным уровнями Ландау), $\hbar\omega_0 \approx 17$ мэВ — энергия оптического фонона, устойчивая к внешним воздействиям [3], $N=1, 2, 3, \dots$. Тогда смещение МФР в слабые магнитные поля при сжатии естественно объяснить при малых давлениях аналогично [5] уменьшением величины энергетического зазора между краями зон Γ_6 и Γ_8 , что приводит к уменьшению эффективной массы и, следовательно, к увеличению щели в магнитном поле, а после перехода бесщелевого состояния — появлением и увеличением щели $\epsilon_g=\epsilon_g(0)$ в нулевом магнитном поле со скоростью 8.8 мэВ/кбар [6]. Рост ϵ_g при сжатии приводит к исключению последовательно одно-, двух- и трехфононных резонансов, чем объясняется наблюдаемое обеднение осцилляционной картины по мере роста давления. Расчет полей H_N наблюдения резонансов выполнялся в сферическом приближении с учетом непараболичности закона дисперсии [5, 7] и считалось, что $E_F=2m_0\mathcal{P}^2/\hbar^2=18$ эВ [7] (\mathcal{P} — матричный элемент опе-

ратора импульса, m_0 — масса свободного электрона) не зависит от давления. Согласие с экспериментальными зависимостями рис. 1, б (номера у кривых соответствуют МФР с участием 1, 2 и 3 фононов) достигается при значении исходного зазора между Γ_6 и Γ_8 в -13 мэВ. Это значение согласуется с литературными данными [8] при учете обычной 5%-й погрешности в определении состава сплава.

В экспериментах на образцах $Hg_{0.80}Cd_{0.20}Te$ наблюдалось появление немонотонностей на зависимостях тока (по сути, проводимости, так как в этом случае измерения велись в режиме заданного напряжения) от величины поперечного магнитного поля $I(H)$ при больших, отвечающих области пробоя значениях напряженности электрического поля (рис. 2, а; кривые для удобства смещены по оси ординат). Как видно из рис. 2, а, этот связанный с ЭПП [2] максимум магнитопроводимости сохраняется при сжатии по крайней мере до 8 кбар и обратимо смещается в более высокие магнитные поля. Возрастание полей наблюдения максимумов проводимости H_m с давлением, а значит, и с величиной ϵ_g [6] происходит линейно (рис. 2, б)¹ в соответствии с учитывающей

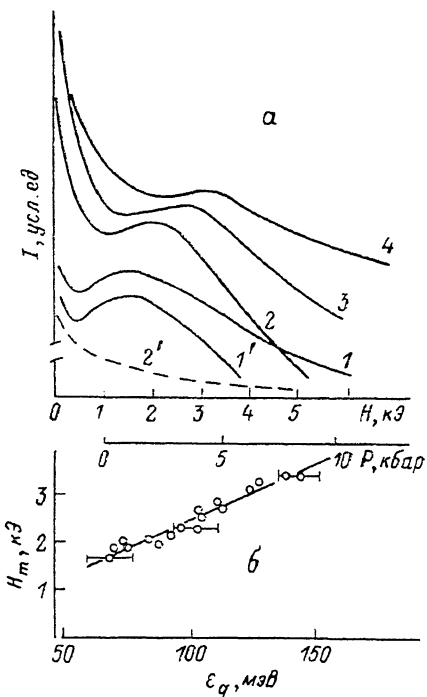


Рис. 2. Зависимость тока I от величины поперечного магнитного поля H (а) и магнитных полей H_m , при которых наблюдается связанный с ЭПП максимум тока, от ширины запрещенной зоны ϵ_g и давления P (б) для образца $Hg_{0.80}Cd_{0.20}Te$.
 а) Р. кбар: 1, 1' — 0.001; 2, 2' — 2.7; 3 — 4.7; 4 — 6.7. Все кривые, кроме 2', записаны в области пробойных электрических полей 200—500 В/см. 1' записана после снятия давления. б) ошибки, связанные с погрешностью определения состава, отмечаются в работе [2] по ЭПП в $Hg_{1-x}Cd_xTe$ с $x=0.20, 0.22$ и 0.24 при нормальном давлении.

реальную зонную структуру сплавов $Hg_{1-x}Cd_xTe$ теорией ЭПП [2]. Показательно, что полученные ранее в [2] значения H_m для $Hg_{1-x}Cd_xTe$ с $x=0.20, 0.22$ и 0.24 ложатся на ту же зависимость при учете указанных ошибок, связанных с погрешностью в определении состава.

В заключение заметим, что ЭПП отмечался при измерениях в поперечном магнитном поле также в $Hg_{0.855}Cd_{0.145}Te$ при $P=9\div 10$ кбар. В частности, при $P=10$ кбар, чему отвечает $\epsilon_g \approx 75$ мэВ, $H_m \approx 2$ кЭ, согласно данным, приведенным на рис. 2, б. Вероятно, отсутствие двойного дифференцирования не позволило в $Hg_{0.80}Cd_{0.20}Te$ в продольном магнитном поле зафиксировать МФР, связанный с переходами на примесные состояния, о которых сообщалось в [1], где применялась такая методика.

Список литературы

- [1] Ipposhi T., Takita K., Masuda K. // J. Phys. Soc. Japan. 1988. V. 57. N 3. P. 1013—1023.
- [2] Богданов Е. В., Попов В. Л., Флейшман Л. С. // ФТП. 1985. Т. 19. В. 11. С. 1929—1934.
- [3] Якушин М. В. // ФТП. 1988. Т. 22. В. 8. С. 1452—1461.
- [4] Машовец Д. В., Хасбулатов А. М., Шамшур Д. В., Шахов М. А. // ФТП. 1980. Т. 14. В. 11. С. 2205—2213.
- [5] Машовец Д. В., Парфеньев Р. В., Хасбулатов А. М. // ФТП. 1981. Т. 15. В. 2. С. 327—330.
- [6] Бовина Л. А., Брандт Н. Б., Гордеев С. Н., Евсеев В. В., Пономарев Я. Г., Стадеев В. И. // ФТП. 1983. Т. 17. В. 6. С. 1009—1015.

Величина щели при нормальном давлении рассчитывалась по наиболее современной эмпирической формуле из [8] на основе паспортных данных о составе материала и использовалось значение $d\epsilon_g/dP=8.8$ мэВ/кбар [6].

- [7] Tsidilkovski I. M., Harus G. I., Shelushinina N. G. // Adv. Phys. 1985. V. 34. N 1. P. 174.
- [8] Chu J., Xu C., Tang D. // Appl. Phys. Lett. 1983. V. 43. N 11. P. 1046—1066.

Московский государственный университет
им. М. В. Ломоносова

Получено 15.09.1989
Принято к печати 24.10.1989

ФТП, том 24, вып. 3, 1990

УДАРНАЯ ИОНИЗАЦИЯ, ПРОИЗВОДИМАЯ ЭЛЕКТРОНАМИ, ДВИЖУЩИМИСЯ В НЕОДНОРОДНОМ ЭЛЕКТРИЧЕСКОМ ПОЛЕ

Каган В. Д.

Для коэффициента ударной ионизации α известны две зависимости от электрического поля E :

$$\alpha = \alpha_0 \exp(-E_{02}^2/E^2), \quad \alpha = \alpha_0 \exp(-E_{01}/E). \quad (1)$$

Если коэффициент ионизации мал, т. е. модуль показателей экспонент велик, эти полевые зависимости определяются малым числом электронов при большой энергии ионизации ϵ_i , [1].

Пусть электрон движется в стационарном, но неоднородном электрическом поле, меняющемся вдоль направления поля на расстоянии порядка L . При достаточной плавности изменения поля будут проявляться универсальные зависимости (1), в которые входит среднее значение напряженности поля. Необходимо определить тот масштаб, при котором начнется отклонение полевой зависимости от универсальной. Этот масштаб, во всяком случае, должен быть больше длины свободного пробега $l_p(\epsilon_i)$.

Первая зависимость возникает тогда, когда электроны отдают энергию малыми порциями. При этом существенна усредненная по поверхности постоянной энергии ϵ функция распределения электронов $f_0(\epsilon)$, а оператор ее энергетической релаксации приводится к дифференциальной форме [2]. Напишем кинетическое уравнение для $f_0(\epsilon, x)$ в неоднородном поле $E(x)$

$$\frac{1}{\sqrt{\epsilon}} \left(\frac{\partial}{\partial x} + eE(x) \frac{\partial}{\partial \epsilon} \right) \left(\frac{\epsilon l_p(\epsilon)}{3} \right) \left(\frac{\partial}{\partial x} + eE(x) \frac{\partial}{\partial \epsilon} \right) f_0 + \frac{1}{\sqrt{\epsilon}} \frac{\partial}{\partial \epsilon} \left(\frac{\epsilon^2}{l_p(\epsilon)} f_0 \right) = 0. \quad (2)$$

Здесь $l_p(\epsilon)$ — энергетическая длина свободного пробега.

Определим, когда слагаемые с пространственными производными дают малые поправки к «однородной» функции распределения

$$f_0 = A \exp \left(- \frac{1}{e^2 E^2(x)} \int \frac{3\epsilon'}{l_p(\epsilon') l_e(\epsilon')} d\epsilon' \right). \quad (3)$$

Для того чтобы найти малые изменения показателя экспоненты, перейдем к уравнению для этого показателя $S(\epsilon, x)$

$$f_0(\epsilon, x) \equiv \exp(-S(\epsilon, x)). \quad (4)$$

Формула (3) определяет нулевое приближение S_0 , причем $S_0 \gg 1$. Учитывая это неравенство, для первого приближения получаем

$$S_1 = 4 \left(\frac{dE}{dx} \right) \frac{1}{eE^2} \int \frac{\epsilon}{S_0(\epsilon', x)} d\epsilon' \simeq \frac{4}{eEL} \int \frac{\epsilon}{S_0(\epsilon', x)} d\epsilon'. \quad (5)$$

Условие малости S_1 по сравнению с S_0

$$L \gg \frac{\epsilon_i}{eE} \gg \sqrt{l_p(\epsilon_i) l_e(\epsilon_i)} \gg l_p(\epsilon_i). \quad (6)$$